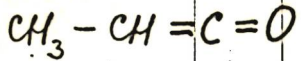


C<sub>3</sub>H<sub>4</sub>O



1962

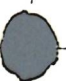


И.В. спектр

$V_0$

13 Б229. Микроволновый спектр и барьер внутреннего вращения метилкетена. Bak B., Christensen D., Christiansen J., Hansen-Nygaard L., Rastrup-Andersen J. Microwave spectrum and internal barrier of rotation of methyl ketene. «Spectrochim. acta», 1962, 18, № 11, 1421—1424 (англ.)

Исследован микроволновый спектр метилкетена (I). Идентифицированы 8 переходов и из частот переходов определены моменты инерции  $I_b = 112,1488$  и  $I_c = 122,1984$  ат. ед. массы  $\text{A}^2$ . Поскольку I является почти вытянутым симметричным волчком, для получения точного значения  $I_a$  (13,1896) использовано значение



X. 1966.

13

момента инерции метильной группы  $I_a$  и соотношение  $I_c = I_a + I_b - I_a$ . Вычислен барьер внутреннего вращения методом Вильсона ( $V_3 = 1200 \pm 10$  кал/моль). Внутреннее вращение метильной группы не влияет на  $I_c$ ,  $I_b$  изменяется незначительно и величина расщепления наблюдаемых линий не зависит от изменения  $I_a$ . Значение  $V_3$ , найденное для I, мало отличается от  $V_3$  для ацетальдегида. Это показывает, что вклад неподеленной пары электронов кислорода в барьер невелик.

М. Алиев

*C<sub>2</sub>H<sub>3</sub> CHO*

*Синтез*

- 9 Д177. Спектр пропенала в ближней УФ-области.  
B. L. and J. C. D. Williamson D. G. Near-ultraviolet spectrum of propenal. «Disc. Faraday Soc.», 1963, № 35, 184—191 (англ.)

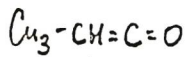
1963

Первая система очень слабых полос поглощения, обнаруженная в области 4122 Å, предположительно приписана тройственным  $\pi^*$ — $n$ -переходам в транс-пропенале. Соответствующие переходы между синглетными состояниями проявляются вблизи 3865 Å. Проведен детальный анализ колебательной структуры этой системы полос. Полученные данные показывают, что конфигурация, соответствующая возбужденному синглетному состоянию, — плоская или почти плоская. Возбуждение увеличивает длину связи CO приблизительно на 0,12 Å и оказывает существенное влияние на делокализацию  $\pi$ -электронов вне группы CHO. В результате большая длина характерна для центральной связи CC, а не для боковой.



05.1964. 98

1966



Microwave spectrum, molecular structure, barrier to internal rotation, and dipole moment of methylketene. Boerge Bak, Joern J. Christiansen, Kaj Kunstmann, Lise Nygaard, and John Rastrup-Andersen (Univ. Copenhagen). *J. Chem. Phys.* 45(3), 883-7(1966)(Eng). The microwave spectra of the  $\text{CD}_3$  species and of 7 monosubstituted isotopic species of  $\text{MeCH:CO}$  have been examd., and a complete structure of methylketene has been obtained by the substitution method. The structural parameters found are: C:O 1.171, C:C 1.306, C-C 1.518, C-H (vinyl) 1.083, and C-H (Me) 1.083 or 1.11 Å. The ketene group is linear, and the Me group is staggered,  $\angle \text{CCC} = 122.6^\circ$ ,  $\angle \text{C(1)-C(2)H(2)} = 113.7^\circ$ , and  $\angle \text{HCH} = 109.9^\circ$  or  $108.8^\circ$ . The barrier splittings were used to det. the value of the barrier to hindered rotation and the angle between the Me-axis and the principal-axis system for each of the monosubstituted species;  $V_b = 1177 \pm 20$  cal./mole. The dipole moment of methylketene was measured on the  $2_{1,2} \rightarrow 3_{1,2}$  transition, yielding  $\mu_a$  1.755,  $\mu_b$  0.35,  $\mu$  1.79 D.

RCJQ

C.A. 1966. 65.9.

13D37g

тране  $\text{CH}_2=\text{CH}-\text{CHO}$

Cherniak E.A.,  
Costain C.C.

1966  
361

спектр

и. н.,

структур

J. Chem. Phys.  
45, N 1, 104

микроволновый спектр и  
молекулярная структура  
тране-акролеина.

1968

C<sub>3</sub>H<sub>4</sub>O

Kuchitses k., ugr.

стекл.  
нест.

J. Molee. Street,  
1968, 1, № 463

[Cic. C<sub>4</sub>H<sub>6</sub>] III

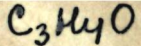
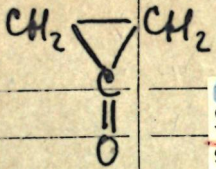
1867

C<sub>3</sub>H<sub>4</sub>O  
(8)

109587b) Vibrational spectra and rotational isomerism of the acrolein molecule, C<sub>3</sub>H<sub>4</sub>O. S. Dzhessati, V. I. Tyulin, and V. M. Tatevskii. *Vestn. Mosk. Univ., Ser. II* 22(2), 14-19 (1967)(Russ). The Raman and ir spectra were measured of the liq. and gaseous acrolein (I), resp., and the frequencies of normal vibrations were calcd. for the cis (Ia) and trans (Ib) forms of I. The majority of the frequencies of both forms coincide; however, some of them are different and can be used in distinguishing between Ia and Ib if certain addnl. information is available. This information was obtained from the temp. dependence of the intensity of the ir bands at 630, 1100, 1930, 2370, 2930, and 3100 cm.<sup>-1</sup> at 25-100°. The 630- and 1100-cm.<sup>-1</sup> bands, according to the calcn., correspond to Ia and their frequencies differ from the analogous bands of Ib. They are, however, partially overlapped by the bands of Ib and thus, only an approx. estn. of  $\Delta E = 1.7$  kcal./mole of the energy difference between the isomers in the gaseous state is possible.

D. Papousek

C.A · 1968 · 68-24



1968

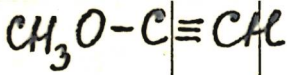
6327h Microwave spectrum, structure, and dipole moment in cyclopropanone. Pochan, J. M.; Baldwin, J. E.; Flygare, W. H. (Univ. of Illinois, Urbana). *J. Amer. Chem. Soc.* 1968, 90(4), 1072-3 (Eng). The observed and calcd. rotational transitions in cyclopropanone (I) were given. No  $\mu_b$  or  $\mu_c$  transitions were observed indicating that I has  $C_{2v}$  symmetry. The Stark effect was observed as a function of elec. field for the  $1_{10} \rightarrow 2_{11}$  and  $0_{00} \rightarrow 1_{01}$  transitions. The moments of inertia were detd. from rotational consts. A simple ring-closed structure of I with 3 C atoms and one O atom in a plane and 4 protons out of the plane was suggested. The structural parameters for I are given.

BWJN

СуперКрыса,  
M. N.

C. A. 1968.

69.2



1969

7970r Barrier to internal rotation of methoxyethyne. Den Engelson, D. (State Univ. Utrecht, Utrecht, Neth.). *J. Mol. Spectrosc.* 1969, 30(3), 466-73 (Eng). Reinvestigation of the microwave spectrum of methoxyethyne gave an accurate value,  $1440 \pm 30$  cal./mole, for the barrier to internal rotation.

RCKP

V<sub>0</sub>

C.A. 1969.

Fl. 2

1970

CH<sub>3</sub>CHCO

Cyvin S.Y.  
Alfheim Y.

Cu.e. n.

Indian Y. Pierre and

Appl. Phys., 1970, 8,

N10, 629.



(Cu. CH<sub>3</sub>CO) III

omnick 3293

1971.



Bair E.J.; Goetz W.,

(Cheekmaw)      Ramsay D.A.

L, vi E

Can. J. Phys., 1971, 49

N21, 2710-2717

~~CH<sub>3</sub>COCH<sub>2</sub>OH~~

1972

Иманов Л.М. и Т.Д.

"Материал I-го Всес. симпоз. по  
вращательн. спектрам молекул.

1969" Баку, 1972, 55-63.

М.Н.

(см C<sub>2</sub>H<sub>5</sub>OH; III)

C<sub>3</sub>H<sub>4</sub>O

17 Б45. Относительно выбора вида потенциальной кривой заторможенного внутреннего вращения молекул акролеина C<sub>3</sub>H<sub>4</sub>O и гидразина N<sub>2</sub>H<sub>4</sub>. Марголин Л. Н., Тюлин В. И. В сб. «Материалы 1-го Всес. симпоз. по вращательн. спектрам молекул. 1969». Баку, 1972, 116—122.

1972

Потенциальные функции внутреннего вращения акролеина и гидразина представлены в виде ряда Фурье, и на основании эксперим. данных найдены коэф. разложения. В частности, для акролеина расшифрована вращат. структура 0—0-полосы и получено 5 обертона крут. кол.: 157,7; 311,7; 467,7; 616,5 и 760,8  $\text{см}^{-1}$ . На основании этих данных получены оценки  $V_1 = 600 \pm 100 \text{ см}^{-1}$  и  $V_2 = 1950 \pm 50 \text{ см}^{-1}$ . Найденной форме потенциальной кривой отвечают  $\Delta H_0 = 600 \pm 100 \text{ см}^{-1}$  (разность энталпий конформеров) и  $\Delta H^\neq = 2250 \pm 150 \text{ см}^{-1}$  (барьер внутреннего вращения). Для гидразина, асимметричная потенциальная функция которого была представлена в виде  $V(\phi) = V_2(1 - \cos 2\phi) + (V_4/2)(1 - \cos 4\phi) + (U_1/2)\sin^2\phi + (U_3/2)\sin 3\phi$ , найдено:  $V_2 = 5600 \text{ см}^{-1}$ ,  $V_4 = -200 \text{ см}^{-1}$ ,  $U_1 = -7600 \text{ см}^{-1}$  и  $U_3 = 2500 \text{ см}^{-1}$ . Этой функции отвечают энталпии  $\Delta H_0 = 500 \text{ см}^{-1}$ ,  $\Delta H^\neq_{\text{транс}} = 850 \text{ см}^{-1}$  и  $\Delta H^\neq_{\text{дис}} =$

X.1973  
N17



$= 10\ 700 \text{ см}^{-1}$ . Отмечается, что вид потенциальных функций получен на основании ряда предположений, справедливость к-рых окончательно не доказана, поэтому найденную зависимость  $V(\varphi)$  следует считать гипотетической.

В. Г. Дащевский

унк  
ве



Lommel 1198 | 1973

G. A. Osborne ;

D. A. Ramsay .

(Vi; chemip) „Can. J. Phys”

1973, 51, N 11, 1170-75

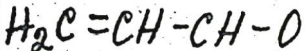
Near ultraviolet absorption  
spectra . . .

41024.131

35260GR

04 1974

TC, MGU, Ch, Ph



\* 45-7109

Ogilvie J.P. Assignments of electronic transitions in methanal azine and related molecules. "Can. J. Spectrosc.", 1974,  
19, N 3, 89-95

(англ., роз. франц.)

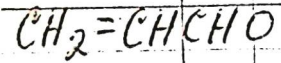
0219 пик

186 189 211 214

ВИНИТИ

Connick 4320

1974

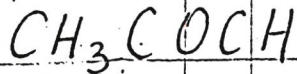


Osborne F. A.

(continued) J. Mol. Spectrosc.,

1974, 49, 48-51.

1974



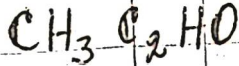
Knowles D. J.

Nicholson A. J. C.

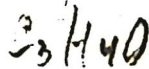
"J. Chem. Phys." 1974, 60, N<sup>3</sup>,  
1180-1181 (aust)

T; AP.

(cii CH<sub>3</sub>COOH, III)



1975



(J.)

9 Д648. Люминесценция и упрощенная фотофизика метилглиоксала. Coveleskie R. A., Yardley James T. Luminescence and simplified photophysics of methylglyoxal. «J. Amer. Chem. Soc.», 1975, 97, № 7, 1667—1672 (англ.)

Получены спектры поглощения и излучения паров метилглиоксала в присутствии Ag в широком интервале давлений. Поглощение приписано переходу  ${}^1A''({}^1A_u \leftarrow {}^1A'({}^1A_g))$  с частотой 0—0  $22\ 260\ \text{см}^{-1}$  или  $22\ 090\ \text{см}^{-1}$ . В вибронных спектрах выделены прогрессии колебаний  $270—280\ \text{см}^{-1}$ . Записаны спектры свечения с временным разрешением. Показано, что общее

4. 1975 N 9

свечение может быть представлено как наложение флуоресценции с наносекундной кинетикой и фосфоресценции из состояния  $^3A_u^1$  с временем затухания 1,92 мсек. Показано, что состояние  $^3A_u^1$  расположено на  $2400 \text{ см}^{-1}$  ниже состояния  $^1A_u^1$ . Представлена простая кинетич. схема, описывающая изменение относит. интенсивности флуоресценции и фосфоресценции при давл. выше 2 мм рт. ст. Отмечено, что при меньших давлениях процесс синглет-триплетной конверсии носит обратимый характер, поэтому предложенная кинетич. схема непригодна. Библ. 25.

И. Н. А.

50306.9084

49587

1975

Ex-Ch, Ch, Ph, TC

C<sub>2</sub>H<sub>3</sub>CHO

\* 9-8262

Dol Bene Janet E., Worth Guy T., Marhe-  
se Francis T., Conrad Michael E.

An ab initio molecular orbital study  
of substituted carbonyl compounds.

"Tehor. chim. acta", 1975, 36, N 3,

195-206

(англ.) 0330 пик

296 298

3 0.9

ВИНИТИ

$\text{CH}_2=\text{CHCHO}$

(акрилони)

УФ-КР-и

ИК-спектры

Марголин Н. Н.

Автограф. канд. наук. (х. н.)

1975

Исследование изотициано-  
вокуретного вращения

C<sub>2</sub>H<sub>4</sub>CO

1976

Fujimoto H., et al.

(  
paecem  
celpytes.  
recruci)

Bull. Chem Soc. Jap.  
1976, 49, N<sup>o</sup> 6, 1508-11.

(Cell C<sub>3</sub>H<sub>6</sub>) III

C<sub>2</sub>H<sub>3</sub>-CHO

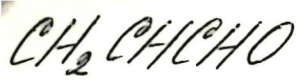
1976

Del Belc J. E., et al.

(  
et. uex. p.)  
200K)

J. Amer. Chem. Soc., 1976,  
98, N<sup>o</sup> 24, 7526-32

(ac. HCHO; III)



1977

Haque W.

Ei, fmr

J. Chem. Phys., 1977,  
67, N8, 3629-35.

cell. CH<sub>4</sub>-III



Van der Plaats G.,  
Smit W. M. A.

1977

paarceur  
aer.  
noct.

"J. Mol. Struct.",  
1977, 36, N 2, 309 - 316.



(ac.  $\text{CO}_2$ )  
 $\text{III}$



1980

17 Б321. Микроволновый спектр, структура, дипольный момент и внутреннее вращение метилпропаргилового эфира. Hayashi M., Nakagawa J., Kato H. Microwave spectrum, structure, dipole moment, and internal rotation of methylpropargylether. «J. Mol. Spectrosc.», 1980, 84, № 2, 362—374 (англ.)

Измерены в области 8—35 ГГц МВ-спектры десяти изотопич. образцов метилпропаргилового эфира,  $\text{HC}=\text{CCH}_2\text{OCH}_3$  (I), в основном колебательном состоянии. При идентификации МВ-переходов с низкими значениями  $J$  использован эффект Штарка. Анализ спектров вы-

а  
lого

X. 1981 № 17

понен с учетом квартичного центробежного искажения. Для нормального изотопич. образца вращательные постоянные равны (в МГц)  $A = 11756,83(17)$ ,  $B = 3323,73(8)$ ,  $C = 2795,43(7)$ , постоянные центробежного искажения (в кГц) —  $d_J = 2,7(30)$ ,  $d_{JK} = -19(9)$ ,  $d_K = 100(40)$ , компоненты дипольного момента  $\mu_a = (0,289(5)) D$ ,  $\mu_b = -0,502(28) D$ ,  $\mu_c = 1,017(14) D$ , а полный дипольный момент  $\mu = 1,170(18) D$ . Полученные данные отнесены к конформеру с гош-формой по отношению к связи  $\text{CH}_2-\text{O}$ . При ряде допущений определена возможная  $r_s$ -структура молекулы. Структурные параметры I несколько отличаются от соотв.-щих данных для галометилметиловых эфиров (II). Длина связи  $\text{CH}_3-\text{O}$  заметно короче в I по сравнению с II и близка к длинам связей  $\text{C}-\text{O}$  в диалкиловых эфирах. В то же время одна из  $\text{CH}$ -связей в метиловой группе I, почти параллельная фрагменту  $\text{HC}=\text{C}-\text{C}$ , намного превосходит соответствующую длину связи в II. На основе известных данных Марстокка и Молленделя (Marstokk K. M., Møllendal H., «J. Mol. Struct.», 1976, 32, 191) по  $A-E$  расщеплению в МВ-спектре I выполнен уточненный расчет параметров барьера внутреннего вращения метильной группы. Для величин параметров барьера и гармонич. частоты крутильных колебаний могут быть приняты значения  $V_3 = -2314(120)$  кал/моль,  $V_8 = -284(320)$  кал/моль,  $\omega = 115 \text{ см}^{-1}$ .

С. Н. Мурзин

C<sub>3</sub>H<sub>4</sub>O

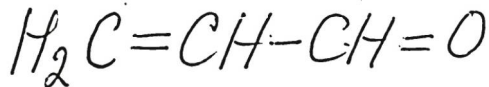
1980

Walker R, et al.

J. Chem. Phys. 1980,  
73, N<sup>t</sup>; 3095-7

check

cav. CHCl<sub>3</sub>-H<sub>2</sub>O



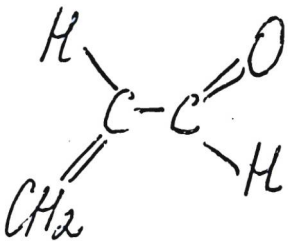
1982

Bock Ch.W., Tro-  
2loocempus, Chtman et al.  
смпукмур,  
ciss. noem. Chem. Phys., 1982,  
68, N 1-2, 143-154.

(cис. O=CH-CH=O; III)

Акролеин

1982



Низлан Н. З.,

Электронно-спектральное  
исследование строения  
некоторых органических  
молекул с сопряженны-  
ми связями.

строение

Автореферат диссертации  
на соискание ученой  
степени к. х. н., Москва,  
1982

( $\text{HC}\equiv\text{COCH}_3$ ) *от 23.07.1985*

19 Б1362. Вращательный спектр метоксиацетилена: анализ центробежного искажения и внутреннего вращения. The rotational spectrum of methoxyethyne: centrifugal distortion and internal rotation analysis. Van Eijck B. P., Dubrulle A., Demaison J., Ripoll J. L. «J. Mol. Spectrosc.», 1985, 112, № 1, 95—103 (англ.)

На сантиметровом в обл. частот 16—40 ГГц и миллиметровом в обл. частот 150—240 ГГц радиоспектрометрах измерен вращат. спектр метоксиацетилена ( $\text{HC}\equiv\text{COCH}_3$ ) в основном и первом возбужденном торсионных состояниях. Анализ спектра выполнен с учетом квартичного, секстичного и октичного центробежного искажения и внутр. вращения метильной группы с использованием метода внутр. осей. Вращат. постоянные в основном состоянии для переходов *A*-типа равны (МГц):  $A = 37927,9814$  (253),  $B = 5136,69884$  (177),  $C = 4651,73771$  (167). На основе модельного расчета определены молек. параметры внутр. вращения. Полученные данные представляют интерес для радиоастрономич. исследований.

С. Н. Мурзин

М.Н. Челест,  
Структура

Х. 1986, 19, N 19

$C_3H_4O^+$

1987

(M. 27104)

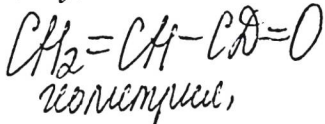
107: 121468v Gaseous  $[C_3H_4O]^+$ . radical cations: expected structures. Bouchoux, G. (Lab. Synth. Org., Ec. Polytech., 91128 Palaiseau, Fr.). THEOCHEM 1987, 36, 107-11 (Eng). Ab-initio MO calcs. of thirteen  $[C_3H_4O]^+$ . radical cations are presented. The remarkable stability of unusual structures such as  $[CH_2CH_2CO]^+$ ;  $[CH_2-CH_2...OC]^{++}$ ;  $[CH_2CHCOH]^+$  and  $[CHCHCHOH]^{++}$  when compared with ionized methyl-ketene and acrolein is established.

Chaykowsky,  
meop. pacet

C.A. 1987, 107, N 14

(Om. 27476)

1987



изомерия,

изомерия.

изомерия.

изомерия.

изомерия.

изомерия.

de Mark  
Parchenko

F. R.,  
Y. N., et al.,

J. Mol. Struct., 1987,  
160, N 3-4; 327-335.

$C_3H_4O$  (Dn. 30724) 1988

Bock Ch.W., Panchenko  
Yu.N., et al.,

Empykmypa,  
ab initio  
pacrem

Chem. Phys. 1988, 125, N1,  
63-75.

$H_2C=CH-CHO$  (Oxn. 2931)

1988

молекул.  
структура

Bostrom F.O.,  
Bakken P., et al.,

J. Mol. Struct.,  
1988, 172, 227-240.

H<sub>2</sub>CO · HCCH      On 29932      1988

109: 45387s Rotational spectrum of a weakly bound dimer of formaldehyde and acetylene: identification and characterization of a bridged planar form involving two nonlinear hydrogen bonds. Howard, N. W.; Legon, A. C. (Dep. Chem., Univ. Exeter, Exeter, UK EX4 4QD). *J. Chem. Phys.* 1988, 88(11), 6793-800 (Eng). Pulsed-nozzle, Fourier-transform microwave spectroscopy was used to observe and measure the rotational spectra of the following 5 isotopomers of a weakly bound dimer formed between H<sub>2</sub>CO and C<sub>2</sub>H<sub>2</sub>: (H<sub>2</sub>CO,HCCH), (H<sub>2</sub>CO,DCCD), (H<sub>2</sub>CO,HCCD), (H<sub>2</sub>CO,DCCH), and (D<sub>2</sub>CO,HCCH). Rotational consts.  $A_v$ ,  $B_v$ ,  $C_v$ , and centrifugal distortion consts.  $\Delta_J$ ,  $\Delta_{JK}$ , and  $\delta_J$  were detd. for the ground state ( $v = 0$ ) for all species and for a vibrationally excited state ( $v = 1$ ) for the 1st 2. The values for the  $v = 0$  state in (H<sub>2</sub>CO,HCCH) are:  $A_0 = 30\ 400.567(3)$  MHz,  $B_0 = 2355.8304(3)$  MHz,  $C_0 = 2180.3335(5)$  MHz,  $\Delta_J = 13.159(8)$  kHz,  $\Delta_{JK} = -311.4(2)$  kHz, and  $\delta_J = 1.526(5)$  kHz. Anal. of the rotational consts. led to the conclusion that the dimer has an unusual, bridged planar geometry, with the 2 subunits bound through 2 nonlinear H bonds. One bond has C<sub>2</sub>H<sub>2</sub> as the H<sup>+</sup> donor and the O atom of H<sub>2</sub>CO as the acceptor, while in the other a H<sub>2</sub>CO H<sup>+</sup> interacts with the C<sub>2</sub>H<sub>2</sub> π bond. The

No chem.,  
sprallan. mit  
unregelmässig.  
naranumpr.

(1)

(2)

C.A. 1988, 109, N 6

D<sub>2</sub>CO · HCCH u gp.

geometry is characterized by the following distances and angles:  $r = 3.86(2)$  Å is the distance from the C atom of H<sub>2</sub>CO to the center of C:C,  $\theta = 80.3(16)^\circ$  is the angle made by the C<sub>2</sub> axis of H<sub>2</sub>CO with  $r$  while  $\phi = 40.1(17)^\circ$  is the corresponding angle made by the C<sub>2</sub>H<sub>2</sub> axis. The H bond distances are  $r(O...H) = 2.39$  Å and  $r(\text{center}...H) = 3.12$  Å. The vibrationally excited state was identified with a motion involving the torsional oscillation of the H<sub>2</sub>CO subunit about its C<sub>2</sub> axis. A relatively high barrier to this motion at 90° to the mol. plane is postulated.



(Изд, ИССН)

от 29.9.32

1988

и гр

12 Л168. Вращательный спектр слабо связанного димера формальдегида и ацетилена: идентификация и характеристики мостиковой плоской формы, включающей две нелинейные водородные связи. Rotational spectrum of a weakly bound dimer of formaldehyde and acetylene: Identification and characterization of a bridged planar form involving two nonlinear hydrogen bonds. Howard N. W., Legon A. E. «J. Chem. Phys.», 1988, № 11, 6793—6800 (англ.)

С помощью фурье-спектрометра измерены вращательные спектры 5 изотопомеров димеров: ( $\text{H}_2\text{CO}$ ,  $\text{HCCN}$ ), ( $\text{H}_2\text{CO}$ ,  $\text{DCCD}$ ), ( $\text{H}_2\text{CO}$ ,  $\text{HCCD}$ ), ( $\text{H}_2\text{CO}$ ,  $\text{DCCH}$ ) и  $\text{D}_2\text{CO}$ ,  $\text{HCCH}$ ). Определены вращательные постоянные и постоянные центробежного искажения для основного колебательного состояния ( $v=0$ ) этих изотопомеров и для 1-го возбужденного колебательного состояния ( $v=1$ ) для первых двух из приведенных выше изотопомеров. Детальный анализ враща-

11  
18

( $\text{H}_2\text{CO}$ ,  $\text{DCCD}$ ) и гр.

сф. 1988, № 12

тельных постоянных позволил сделать заключение о необычной геометрии димеров, которая характеризуется следующими расстояниями и углами:  $r=3,86(2)\text{\AA}$  — расстояние от атома С молекулы  $\text{H}_2\text{CO}$  до центра связи  $\text{C}\equiv\text{C}$ ,  $\theta=80,3(16)^\circ$  — угол, образуемый осью  $C_2$  молекулы  $\text{H}_2\text{CO}$  с направлением вектора  $r$ ;  $\Phi=40,1(17)^\circ$  — угол, образуемый осью молекулы ацетилена и направлением вектора  $r$ . Длина водородной связи  $r(\text{O}... \text{H})=2,39\text{\AA}$  и  $r(\text{центр}... \text{H})=3,12\text{\AA}$ . Колебательное возбуждение димера идентифицировано как крутильные колебания молекулы  $\text{H}_2\text{CO}$  вокруг ее оси  $C_2$  с относительно высоким барьером.

В. А. Морозов



HC:COCH<sub>3</sub> On 31.9.29 1989

110: 239375c Vibrational spectra and structure of methoxy-acetylene. Ignat'ev, I. S.; Lazarev, A. N.; Al'pert, M. L. (Inst. Khim. Silik., Leningrad, USSR). *Zh. Fiz. Khim.* 1989, 63(3), 642-51 (Russ). The IR spectra were investigated by HC:COMe and HC:COCD in the gas phase, as well as Raman spectra in the liq. phase. An inspection was made of frequency attribute. A nonempirical quantum-chem. calcn. was made, using the gradient method of the equil. configuration of the mol. of methoxyacetylene and its force consts., with the utilization of the ref. at. functions of the type 4-21 G and 4-21 G\*. The calcn. of the frequency with the quantum-chem. force consts. was carried out at fixed values of the scaling multipliers, detd. from calcns. in the same ref. of force fields of fluoracetylene and di-Me ether. The geometric and dynamic manifestations of disturbance of the local C<sub>3v</sub>-symmetry of the methoxy group were examd. These disturbances and detd. by the influence of unshared pairs, and are less than in satd. ethers, as a consequence of the characteristics of the structure and the orientation of the unshared pairs.

(UK)

C.A. 1989, 110, N 26

$\text{HC}\equiv\text{COCH}_3$

от 31.9.29

1989

† 6 Л193. Колебательный спектр и строение метокси-ацетилена / Игнатьев И. С., Лазарев А. Н., Альперт М. Л. // Ж. физ. химии.— 1989.— 63, № 3.— С. 642—651

Изучены ИК-спектры  $\text{HC}\equiv\text{COCH}_3$  и  $\text{HC}\equiv\text{COCD}$  в газовой фазе и спектры ~~комб.~~ рас. — в жидкой. Проведен пересмотр отнесения частот. Выполнен неэмпирический квантовохимич. расчет градиентным методом равновесной конфигурации молекулы метоксиацетилена и ее силовых постоянных с использованием базисных атомных ф-ций типа 4-21G и 4-21G\*. Расчет частот с квантовохимическими силовыми постоянными проведен при фиксированных значениях масштабирующих множителей, определенных из расчетов в том же базисе силовых полей фторацетилена и диметилового эфира. Рассмотрены геометрические и динамич. проявления нарушений локальной  $C_{3v}$ -симметрии метоксигруппы. Показано, что эти нарушения определяются влиянием неподеленных пар и, что по величине эти нарушения меньше, чем в насыщенных эфирах, вследствие особенностей строения и ориентации неподеленных пар.

Резюме

(1) 9/1989, N 6